

МОДЕЛИ ЭТАЛОНОВ ЛИНГВИСТИЧЕСКИХ ПЕРЕМЕННЫХ ДЛЯ СИСТЕМ ВЫЯВЛЕНИЯ АТАК

Предложена модель эталонов лингвистических переменных, которая ориентирована на построение систем выявления атак, основанных на идентификации аномального состояния в информационной системе. Для выявления DDoS-атак и спуфинга используются параметры: количество одновременных подключений к серверу, скорость обработки запросов от клиентов, задержка между запросами от одного пользователя, количество пакетов с одинаковым адресом отправителя и получателя. На основе данных проведенного эксперимента построены модели эталонов параметров с использованием базовых терм-множеств и нечетких чисел.

Ключевые слова: атака, аномалия, идентификация аномалий, системы выявления атак, лингвистические переменные, эталоны параметров, лингвистические модели, нечеткие числа.

В стремительно развивающейся информационной среде появляются новые виды угроз ее ресурсам. В этой связи существует потребность в системах безопасности, позволяющих анализировать, контролировать, прогнозировать и блокировать новые виды атак в информационной системе (ИС). Для этого необходимы средства, дающие возможность выявить нападение по характерным признакам.

Несанкционированные воздействия на ресурсы ИС оказывают влияние на среду их окружения и порождают определенные аномалии. Для их идентификации можно использовать логико-лингвистический подход [1] и базовую моделью параметров (БМП) [2], которые могут стать основой построения систем выявления атак. Согласно БМП следует определить набор величин, необходимый для обнаружения подозрительной активности в сетевом трафике. Например, для обнаружения процесса сканирования портов в работах [1, 3, 4] используются лингвистические переменные (ЛП) “КОЛИЧЕСТВО ВИРТУАЛЬНЫХ КАНАЛОВ” (**КВК**) и “ВОЗРАСТ ВИРТУАЛЬНОГО КАНАЛА” (**ВВК**), соответственно определяемые кортежами $\langle \text{КВК}, T_{\text{КВК}}, X_{\text{КВК}} \rangle$ и $\langle \text{ВВК}, T_{\text{ВВК}}, X_{\text{ВВК}} \rangle$. Виртуальный канал (ВК) создается при получении приемником IP-пакета и существует определенное время. Признаком рождения новых ВК, служит прием IP-пакета на порт, для которого такой канал отсутствовал. Максимальное число ВК определяется значением $max_{\text{КВК}}$ и часто определяется количеством доступных портов, например, 65536. Параметр “время жизни” (ВЖ) отражает остаток времени существования ВК, а в момент его создания $BЖ := BЖ_0$, ($1 \text{ мин} \leq BЖ_0 \leq 10 \text{ мин}$). Канал прекращает существование при $BЖ = 0$, а при очередном IP-пакете $BЖ := BЖ + \Delta BЖ$ (например, $\Delta BЖ = 100 \text{ мс}$). Очевидно, что при интенсивном трафике для ВК ВЖ увеличивается, и он долго существует, а при остановке обмена через время $BЖ_t$ ($BЖ_t$ – текущее значение ВЖ) канал удаляется, т.е. чем интенсивнее трафик, тем живучее канал. На основе свойств ВК и соответствующих ему ЛП формируются эталонные параметры для выявления сканирования портов.

Процесс идентификации аномалий, порожденных другими возможными атаками на ресурсы информационных систем (ИС) также требует определения необходимых параметров и их свойств. В связи с этим, целью данной работы является построение моделей эталонов параметров, позволяющих расширить возможности соответствующих систем защиты за счет обнаружения других видов атак в нечетко определенной, слабоформализованной среде. Например, основываясь на [6, 7, 9, 10] для выявления DDoS-атак на сервер и спуфинга наиболее целесообразно использовать следующие параметры: количество одновременных подключений (КОП) к серверу; скорость обработки запросов (СОЗ) от клиентов; задержка между запросами (ЗМЗ) от одного пользователя, количество пакетов с одинаковым адресом отправителя и получателя (КПОА). Как показывает практика для эффективного проведения DDoS необходимо привлечение большого количества источников, участвующих в нападении

на жертву. Следовательно, параметр КОП при увеличении количества подключений к серверу может использоваться в качестве одного из признаков начала атаки. Максимальное число подключений, которое может поддерживать сервер, зависит от его аппаратных и программных возможностей и характеризуется параметром *maxcop*, значение которого будет отличаться для разных серверов.

Возможность противостоять нападениям во многом зависит от такого важного сетевого параметра в работе серверов, как СОЗ, характеризующий возможное количество запросов, обрабатываемых за единицу времени (обычно за секунду). При большом количестве запросов, которые генерируют участники DDoS-атаки, сервер полностью или частично перестает реагировать на запросы легитимных пользователей, то есть не справляется с нагрузкой. Максимальная скорость обработки запросов определяется на практике с помощью стресс-тестов для конкретного сервера в конкретной среде окружения и задается параметром *maxcosz*.

Параметр ЗМЗ характеризует время между последовательными запросами от одного подключенного к серверу клиента. На некоторых серверах для предотвращения атак этот параметр устанавливается вручную (например, 1 запрос за 1 секунду от пользователя). Уменьшение задержки между запросами может свидетельствовать о начале DDoS-атаки, целью которой является отправка как можно большего количества запросов, которые выведут сервер из работоспособного состояния. Значение ЗМЗ определяется величиной *maxcosz*, которая зависит от программного обеспечения (ПО) и назначения сервера.

Для получения конкретных числовых параметров проводится эксперимент на реальном работающем Web-сервере. В качестве примера тестируемого сервера был выбран компьютер (процессор Intel(R) Celeron(R) CPU 2.80GHz с частотой шины 133 МГц; оперативная память 2 Гб DDR2 400 МГц; сетевое подключение – 100 Мбит/с; операционная система – 32-битная Debian GNU/Linux 6.0.3 (squeeze)) со следующим списком установленного основного ПО: Apache 2.2.16, BIND DNS сервер 9.7.1, Exim 4.72, lighttpd 1.4.28, MySQL 5.1.49, OpenSSH 5.5p1, PHP 5.3.2, Tomcat 6.0.28, Iptables.

Максимальное значение параметра КОП определяется в настройках Web-сервера как *MaxClients* по адресу */etc/apache2/apache2.conf*. Система сконфигурирована таким образом, чтобы поддерживать одновременно максимум 1024 подключения. Согласно статистике, собранной с помощью утилиты *Netstat*, для данного сервера среднее количество таких подключений не превышало 100.

Значения параметра СОЗ были получены по результатам стресс-теста, осуществляющегося с помощью утилиты Apache HTTP server benchmarking tool [5, 11], которая является одним из самых распространенных средств для оценки производительности и входит в базовый пакет программ Apache. Измерения проводились при большом количестве запросов, которые показали, что данный Web-сервер может обработать до 1200 запросов в секунду в локальной сети, и около 100 (см. рис. 1) полученных из сети Internet. В нормальном режиме работы сервер за одну секунду обслуживает около 34 Internet-запросов.

Поскольку существует множество различных запросов (как пользовательских так и служебных), то определение величины ЗМЗ от одного пользователя имеет определенную специфику, причем в сетевом трафике они отличаются по частоте встречаемости и времени обработки сервером. Следовательно методика измерения должна включать только те запросы, которые являются наиболее затратными для сервера с точки зрения его производительности. В частности, ICMP-запросы проходят фильтрацию с помощью установленных политик безопасности на межсетевом экране Iptables. Для измерения интервалов времени между наиболее частыми для Web-серверов запросов GET и POST был написан php-скрипт, который анализирует обращения к серверу и вычисляет время между двумя последовательными запросами GET или POST от пользователя, усредненное значение *maxzmz* для которых составило приблизительно 200 мс и 1 с соответственно.

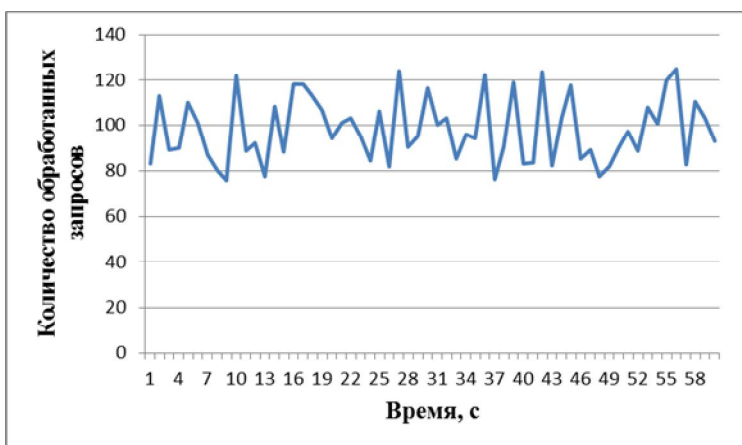


Рис.1. Результаты стресс-теста обработки Internet-запросов за 60 сек

адрес сервера, который отвечая на полученные запросы атакует сам себя. Возникновение большого количества пакетов с одинаковым адресом получателя и отправителя в сетевом трафике может свидетельствовать о начале DDoS-атаки.

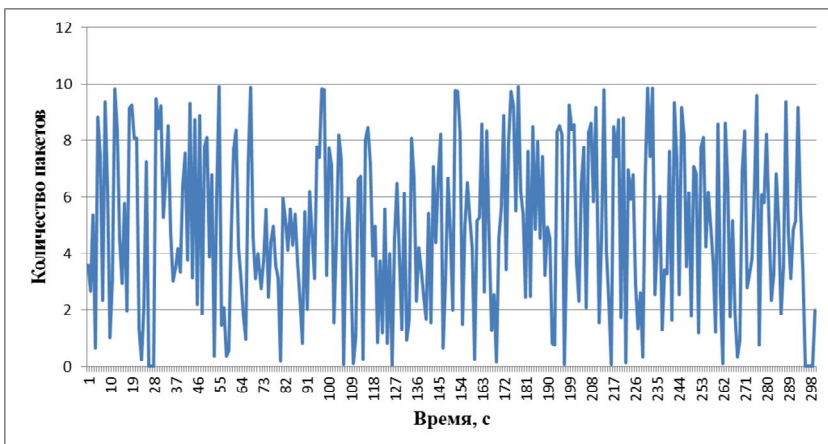


Рис. 2. Значение КПОА при работе сервера на протяжении 5 минут

пакетов с одинаковым адресом получателя и отправителя не превышает 10 за секунду. Следовательно, превышение этого значения в определенное число раз может быть признаком спуффинг-атаки на сервер.

Одними из ключевых величин в БМП являются эталоны параметров, которые строятся для ЛП и необходимы при формировании логических правил, используемых при выявлении нападений. В этой связи, построим лингвистические модели эталонов параметров для ЛП **КОП**, **СОЗ**, **ЗМЗ** и **КПОА** с кортежами $\langle KOP, T_{KOP}, U_{KOP} \rangle$, $\langle COZ, T_{COZ}, U_{COZ} \rangle$, $\langle ZM3, T_{ZM3}, U_{ZM3} \rangle$ и $\langle KPOA, T_{KPOA}, U_{KPOA} \rangle$ соответственно.

С учетом проведенного эксперимента модель эталонов для $\langle KOP, T_{KOP}, U_{KOP} \rangle$ построим на основе базового терм-множества с пятью нечеткими термами: $T_{KOP} = \bigcup_{i=1}^5 T_{KOP}^i = \{“ОЧЕНЬ МАЛОЕ” (OM), “МАЛОЕ” (M), “СРЕДНЕЕ” (C), “БОЛЬШОЕ” (B), “ОЧЕНЬ БОЛЬШОЕ” (OB)\}$, которые могут быть отображены на универсальное множество $U_{KOP} \in \{0, \text{max}_{KOP}\}$.

Воспользуясь экспертными оценками, сделанными на базе данных табл. 1, сформируем функции принадлежности (ФП) для T_{KOP} , основываясь на методе лингвистических термов с использованием статистических данных МЛТС [1].

Для выявления спуфинга направленного на вызов DoS- или провокация DDoS-атаки используем признаки, характеризующиеся подменой адресов в заголовке пакетов. Поэтому для выявления такой атаки целесообразно использовать параметр КПОА. Здесь, в частности рассматривается вид спуфинга, при котором неавторизованная сторона генерирует большое количество пакетов, в заголовках которых в качестве адреса отправителя и получателя указан

Значение параметра КПОА определялось на основе данных, полученных при обработке логов межсетевого экрана Iptables. Методика измерений подразумевает подсчет количества пакетов в заголовках которых указаны одинаковые адреса и порты получателя и отправителя (SRC и DST) за единицу времени. Согласно подсчету (см. рис. 2), при нормальной работе сервера количество

Данные для $T_{КОП}$

Таблица 1

Значения ЛП	Интервал				
	N1	N2	N3	N4	N5
ОМ	4	1	0	0	0
М	2	3	1	0	0
С	0	1	4	2	0
Б	0	0	2	4	3
ОБ	0	0	0	5	6

Практика показывает, что наиболее целесообразно определить $max_{КОП}=1024$ (значение *MaxClients* в настройках сервера), а $N1, N2, N3, N4, N5$ определить соответственно интервалами $[0; 8], [9; 64], [65; 256], [257; 512], [513; 1024]$. Для последующего получения эталонов сформируем матрицу подсказок по формуле $\|k_j\| = \left\| \sum_{j=1}^5 b_{ij} \right\| = \|6, 5, 7, 11, 9\|$, где b_{ij} –

элементы эмпирических данных (см. табл. 1), которые преобразовываются в матрицу по выражению:

$$c_{ij} = b_{ij} km / k_j, \quad (1)$$

где $(i, j = \overline{1, 5})$, а $km = \sum_{j=1}^5 k_j = 11$, и

$$\|c_{ij}\| = \begin{vmatrix} 7,33 & 1,83 & 0 & 0 & 0 \\ 4,4 & 6,6 & 2,2 & 0 & 0 \\ 0 & 1,57 & 6,29 & 3,14 & 0 \\ 0 & 0 & 2 & 4 & 3 \\ 0 & 0 & 0 & 6,11 & 7,33 \end{vmatrix}.$$

Далее вычисляется матрица ФП по выражению:

$$\mu_{ij} = c_{ij} / cm_i, \quad (2)$$

где $(i, j = \overline{1, 5})$, а $cm_i = \sum_{j=1}^5 c_{ij} = \{7,33; 6,6; 6,29; 4; 7,33\}$. Полученные значения имеют

следующий вид:

$$\|\mu_{ij}\| = \begin{vmatrix} 1 & 0,25 & 0 & 0 & 0 \\ 0,67 & 1 & 0,33 & 0 & 0 \\ 0 & 0,25 & 1 & 0,5 & 0 \\ 0 & 0 & 0,5 & 1 & 0,75 \\ 0 & 0 & 0 & 0,83 & 1 \end{vmatrix}.$$

Для $\sum_{i=1}^5 \mu_{ij}$ соответственно находим оценочные отношения $\sum_{i=1}^5 \Delta B_i / B = \{0,008; 0,063; 0,25; 0,5; 1\}$ ($\Delta B / B$ – отклонение параметра $B_{КОП} \in [0, B_{КОП}]$, а $B_{КОП}$ – максимально возможное значение, которое характеризует текущие измерения) и получаем промежуточные нечеткие числа (НЧ): $\underline{OM} = \{1/0,008; 0,25/0,063; 0/0,25; 0/0,5; 0/1\}; \underline{M} = \{0,67/0,008; 1/0,063; 0,33/0,25; 0/0,5; 0/1\}; \underline{C} = \{0/0,008; 0,25/0,063; 1/0,25; 0,5/0,5; 0/1\}; \underline{B} = \{0/0,008; 0/0,063; 0,5/0,25; 1/0,5; 0,75/1\}; \underline{OB} = \{0/0,008; 0/0,063; 0/0,25; 0,83/0,5; 1/1\}$.

Для формирования лингвистических эталонов необходимо чтобы для $\forall T_{КОП}^i$ было справедливо отношение порядка, например, при $i=1$, $\forall x_{OM}: x_{OM_k} < x_{OM_{k+1}}$. Далее полученные T_{KVK} для НЧ $\underline{X} = \{\mu_1/x_1; \dots; \mu_i/x_i; \dots; \mu_n/x_n\}$ представляются в приведенной форме [1]

$T_{КОП}^e = \bigcup_{i=1}^5 T_{КОП}^{ei} = \{\underline{OM}^e, \underline{M}^e, \underline{C}^e, \underline{B}^e, \underline{OB}^e\}$, где $\underline{OM}^e = \{0/0,008; 1/0,008; 0,25/0,063; 0/0,25\}$;

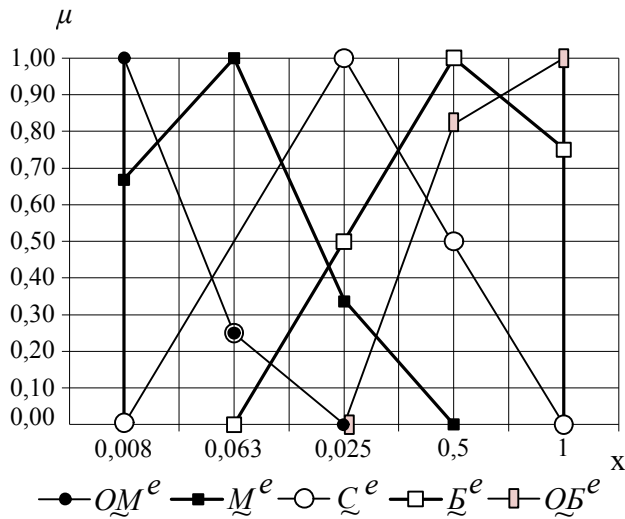


Рис. 3. Лингвистические эталоны НЧ для КОП

$T_{COZ} = \bigcup_{i=1}^3 T_{COZ}^i = \{“НИЗКАЯ” (H), “СРЕДНЯЯ” (C), “ВЫСОКАЯ” (B)\}$, которые могут быть отображены на универсальное множество $U_{COZ} \in \{0, max_{COZ}\}$.

Данные для T_{COZ} Таблица 2

Значения ЛП	Интервал		
	N1	N2	N3
H	3	1	0
C	1	2	1
B	0	1	4

На основе экспертных данных в табл. 2 сформируем ФП для интервалов $N1, N2, N3$, принимающих соответственно значения $[0; 5], [6; 25], [26; 100]$. Согласно эксперименту (см. рис. 1) определим $max_{COZ}=100$, отражающее усредненное значение количества пакетов с сети Internet, полученное с помощью стресс-теста.

Формируем матрицу подсказок по формуле

$$\|k_j\| = \left\| \sum_{j=1}^3 \sum_{i=1}^3 b_{ij} \right\| = \|4, 4, 5\|, \text{ где } b_{ij} - \text{элементы эмпирических данных (см. табл. 2), которые преобразуются в матрицу по выражению (1) при } (i, j = \overline{1, 3}), \text{ где } km = \bigvee_{j=1}^3 k_j = 5, \text{ а}$$

$$\|c_{ij}\| = \begin{vmatrix} 3,75 & 1,25 & 0 \\ 1,25 & 2,5 & 1 \\ 0 & 1,25 & 4 \end{vmatrix}.$$

Далее вычисляем ФП по выражению (2) при $(i, j = \overline{1, 3})$, где $cm_i = \bigcup_{j=1}^3 \bigvee_{i=1}^3 c_{ij} = \{3,75; 2,5; 4\}$.

4}. Вычисленные значения ФП будут следующие:

$$\|\mu_{ij}\| = \begin{vmatrix} 1 & 0,33 & 0 \\ 0,5 & 0,9 & 0,4 \\ 0 & 0,31 & 1 \end{vmatrix}.$$

Для $\bigcup_{i=1}^3 \mu_{ij}$ соответственно находим оценочные отношения $\bigcup_{i=1}^3 \Delta B_i / B = \{0,05; 0,25; 1\}$

($\Delta B/B$ – отклонение параметра $\Delta B_{COZ} \in [0, B_{COZ}]$, а B_{COZ} – максимально возможное значение, которое характеризует текущие измерения) и получаем НЧ: $\underline{H} = \{1/0,05; 0,33/0,25; 0/1\}; \underline{C} = \{0,5/0,05; 0,9/0,25; 0,4/1\}; \underline{B} = \{0/0,05; 0,31/0,25; 1/1\}$.

$$\begin{aligned} \underline{M}^e &= \{0/0,008; 0,67/0,008; 1/0,063; 0,33/0,25; 0/0,5\}; \\ \underline{C}^e &= \{0/0,008; 0,25/0,063; 1/0,25; 0,5/0,5; 0/1\}; \\ \underline{E}^e &= \{0/0,063; 0,5/0,25; 1/0,5; 0,75/1; 0/1\}; \\ \underline{OB}^e &= \{0/0,25; 0,83/0,5; 1/1; 0/1\}. \end{aligned}$$

Полученные значения и будут использоваться в качестве эталонных для КОП, графическое изображение которых представлено на рис. 3.

С учетом проведенного эксперимента модель эталонов для $\langle COZ, T_{COZ}, U_{COZ} \rangle$ построим на основе базового термомножества с тремя нечеткими термами:

Учитывая, что для $\forall T_{COZ}^i$ справедливо отношение порядка, например, при $i=1$, $\forall x_m$: $x_{H_k} < x_{H_{k+1}}$. Полученные T_{COZ} для НЧ $\tilde{X} = \{\mu_1/x_1; \dots; \mu_i/x_i; \dots; \mu_n/x_n\}$ представляются в приведенной форме [1] $T_{COZ}^e = \bigcup_{i=1}^3 T_{COZ}^{ei} = \{\tilde{H}^e, \tilde{C}^e, \tilde{B}^e\}$, где $\tilde{H}^e = \{0/0,05; 1/0,05; 0,33/0,25; 0/1\}$; $\tilde{C}^e = \{0/0,05; 0,5/0,05; 0,9/0,25; 0,4/1; 0/1\}$; $\tilde{B}^e = \{0/0,05; 0,31/0,25; 1/1; 0/1\}$.

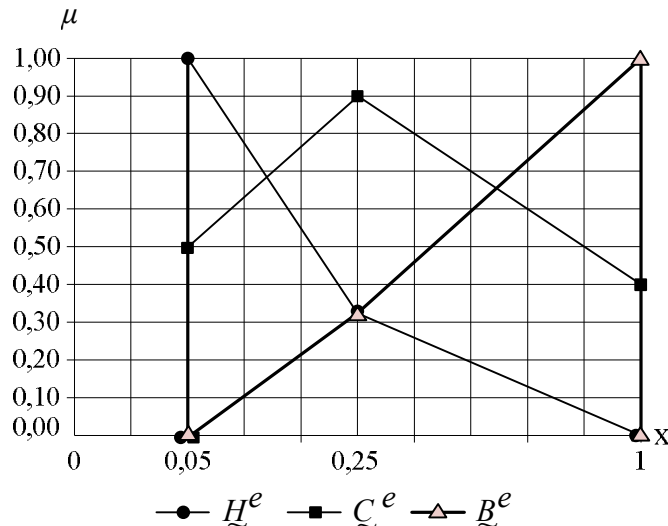


Рис. 4 Эталонные НЧ для СОЗ

Данные для T_{3M3} Таблица 3

Значения ЛП	Интервал		
	N1	N2	N3
M	3	1	0
C	1	3	2
B	0	2	5

По табл. 3 для $N1, N2, N3$ соответственно зададим значения $[0; 10], [11; 100], [101; 1000]$. Согласно эксперименту (см. рис. 1) определим значение $max_{3M3}=1000$ мс на основе полученных данных по времени обработки запросов GET и POST. Формируем матрицу подсказок по формуле $\|k_j\| = \left\| \sum_{j=1}^3 \sum_{i=1}^3 b_{ij} \right\| = \|4, 6, 7\|$, где b_{ij} – элементы

эмпирических данных (см. табл. 3), которые преобразовываются в матрицу по выражению (1) при $(i, j = \overline{1, 3})$, где $km = \sum_{j=1}^3 k_j = 7$, а

$$\|c_{ij}\| = \begin{vmatrix} 5,25 & 1,75 & 0 \\ 1,17 & 3,5 & 2,33 \\ 0 & 2 & 5 \end{vmatrix}.$$

Далее вычисляем ФП по выражению (2) при $(i, j = \overline{1, 3})$, где $cm_i = \sum_{j=1}^3 \sum_{i=1}^3 c_{ij} = \{5,25; 3,5; 5\}$.

Вычисленные значения ФП будут следующие:

$$\|\mu_{ij}\| = \begin{vmatrix} 1 & 0,33 & 0 \\ 0,33 & 1 & 0,67 \\ 0 & 0,4 & 1 \end{vmatrix}.$$

Для $\sum_{i=1}^3 \mu_{ij}$ соответственно находим оценочные отношения $\sum_{i=1}^3 \Delta B_i / B = \{0,01; 0,1; 1\}$

($\Delta B / B$ – отклонение параметра $\Delta B_{3M3} \in [0, B_{3M3}]$, а B_{3M3} – максимально возможное значение, которое характеризует текущие измерения) и получаем НЧ: $\tilde{M} = \{1/0,01; 0,33/0,1; 0/1\}$;

$\tilde{C} = \{0,33/0,01; 1/0,1; 0,67/1\}$; $\tilde{B} = \{0/0,01; 0,4/0,1; 1/1\}$.

При формировании эталонов для $\forall T_{3M3}^i$ также справедливо отношение порядка, например, при $i=1$, $\forall x_M: x_{M_k} < x_{M_{k+1}}$. Далее T_{3M3} для НЧ $X = \{\mu_1/x_1; \dots; \mu_i/x_i; \dots; \mu_n/x_n\}$ представляются в приведенной форме [1] $T_{3M3}^e = \bigcup_{i=1}^3 T_{3M3}^{ei} = \{M^e, C^e, B^e\}$, где $M^e = \{0/0,01; 1/0,01; 0,33/0,1; 0/1\}; C^e = \{0/0,01; 0,33/0,01; 1/0,1; 0,67/1; 0/1\}; B^e = \{0/0,01; 0,4/0,1; 1/1; 0/1\}$.

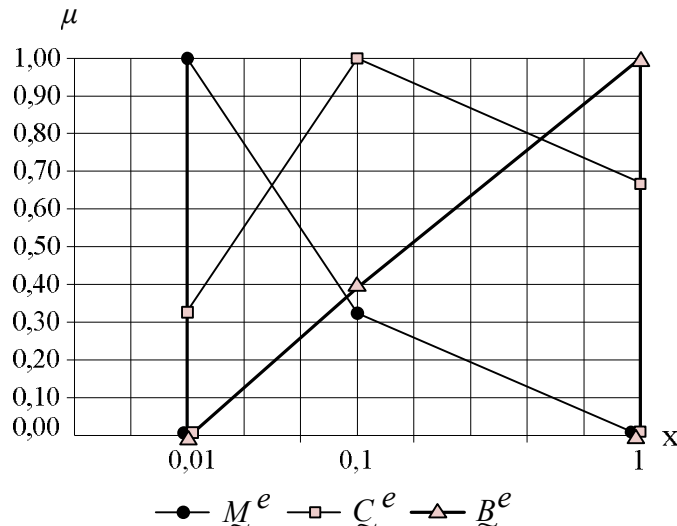


Рис. 5. Этапонные НЧ для ЗМЗ

Эти значения и будут использоваться в качестве эталонных для ЗМЗ, графическое изображение которых представлено на рис. 5.

По принципу с ЗМЗ также осуществим вычисления для $\langle KPOA, T_{KPOA}, U_{KPOA} \rangle$ на основе $T_{KPOA} = \bigcup_{i=1}^3 T_{KPOA}^i = \{\text{"МАЛОЕ"} (M), \text{"СРЕДНЕЕ"} (C), \text{"БОЛЬШОЕ"} (B)\}$, а нечеткие термы могут быть отображены на универсальное множество $U_{KPOA} \in \{0, max_{KPOA}\}$.

С использованием данных в табл. 4 для интервалов $N1, N2, N3$ установим значения $[0; 10], [11; 100], [101; 1000]$. Согласно эксперименту (см. рис. 5) на основе мониторинга конкретного работающего сервера определим значение $max_{KPOA} = 1000$ пакетов (превышение нормального значения количества пакетов в 100 раз).

Формируем матрицу подсказок по формуле

$$\|k_j\| = \left\| \bigcup_{j=1}^3 \sum_{i=1}^3 b_{ij} \right\| = \|4,7,5\|, \text{ где } b_{ij} - \text{элементы эмпирических данных (см. табл. 4), которые преобразовываются в матрицу по выражению (1) при } (i, j = \overline{1, 3}), \text{ где } km = \bigvee_{j=1}^3 k_j = 7, \text{ а}$$

$$\|c_{ij}\| = \begin{vmatrix} 5,25 & 1,75 & 0 \\ 1 & 4 & 2 \\ 0 & 2,8 & 4,2 \end{vmatrix}.$$

Далее вычисляем ФП по выражению (2) при $(i, j = \overline{1, 3})$, где $cm_i = \bigcup_{j=1}^3 \bigvee_{i=1}^3 c_{ij} = \{5,25; 4; 4,2\}$.

Вычисленные значения ФП будут следующие:

$$\|\mu_{ij}\| = \begin{vmatrix} 1 & 0,33 & 0 \\ 0,25 & 1 & 0,5 \\ 0 & 0,67 & 1 \end{vmatrix}.$$

Для $\bigcup_{i=1}^3 \mu_{ij}$ соответственно находим оценочные отношения $\bigcup_{i=1}^3 \Delta B_i / B = \{0,01; 0,1; 1\}$

($\Delta B / B$ – отклонение параметра $\Delta B \in [0, B_{KPOA}]$, а B_{KPOA} – максимально возможное значение, которое характеризует текущие измерения) и получаем НЧ: $\underline{M} = \{1/0,01; 0,33/0,1; 0/1\}; \underline{C} = \{0,25/0,01; 1/0,1; 0,5/1\}; \underline{B} = \{0/0,01; 0,67/0,1; 1/1\}$.

А также, формируя эталоны для $\forall T_{\text{КПОА}}^i$ справедливо отношение порядка, например, при $i=1$, $\forall x_M: x_{M_k} < x_{M_{k+1}}$. Далее полученные $T_{\text{КПОА}}$ для НЧ $\tilde{X} = \{\mu_1/x_1; \dots \mu_i/x_i; \dots \mu_n/x_n\}$ представляются в приведенной форме [1] $T_{\text{КПОА}}^e = \bigcup_{i=1}^3 T_{\text{КПОА}}^{ei} = \{\tilde{M}^e, \tilde{C}^e, \tilde{B}^e\}$, где $\tilde{M}^e = \{0/0,01; 1/0,01; 0,33/0,1; 0/1\}; \tilde{C}^e = \{0/0,01; 0,25/0,01; 1/0,1; 0,5/1; 0/1\}; \tilde{B}^e = \{0/0,01; 0,67/0,1; 1/1; 0/1\}$.

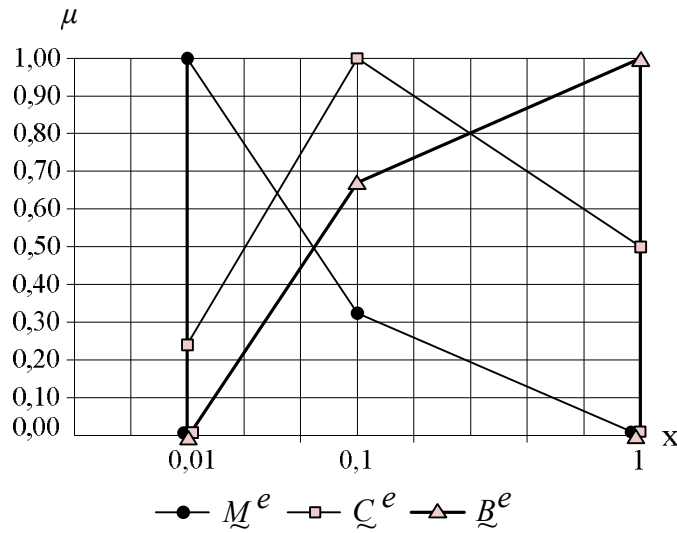


Рис. 6. Этalonные НЧ для КПОА

конкретные эталонные НЧ, которые необходимы для построения систем выявления атак / А.И. Стасюк, А.А. Корченко // Захист інформації. — 2012. — №2 (55). — С. 47-51.

Полученные значения, как и в предыдущих моделях, будут использоваться в качестве эталонных для КПОА, графическое изображение которых представлено на рис. 6.

В результате проведенной работы, на основе БМП с использованием данных экспертных оценок, были построены лингвистические модели эталонов параметров ЛП КОП, СОЗ, ЗМЗ, КПОА. С учетом

экспериментальных данных определены

логические правила, позволяющие повысить эффективность соответствующих средств безопасности, основанных на идентификации аномального состояния в ИС.

ЛИТЕРАТУРА

1. Корченко А.Г. Построение систем защиты информации на нечетких множествах : Теория и практические решения / А.Г.Корченко. – К. : МК-Пресс, 2006. – 320 с.
2. Стасюк А.И., Корченко А.А. Базовая модель параметров для построения систем выявления атак / А.И. Стасюк, А.А. Корченко // Захист інформації. — 2012. — №2 (55). — С. 47-51.
3. Корченко А.О. Система виявлення аномалій на основі нечітких моделей / А.О. Корченко, Є.В. Паціра, В.В. Волянська // Сучасні тренажерно-навчальні комплекси та системи : Зб. наук. праць. – Л.: Інституту проблем моделювання в енергетиці НАН України ім. Г.С. Пухова, 2007. □ Т.2. – С. 56 – 60.
4. Програма захисту інформаційних ресурсів від атакуючих дій в комп’ютерних мережах : Комп’ютерна програма / Васюхін М.І., Гулевець В.Д., Корченко А.О., та інші — К. : Інститут кібернетики ім. В.М. Глушкова НАНУ, 2011. — Свідоцтво про реєстрацію авторського права на твір №37127 від 25.02.2011.
5. [ab : Apache HTTP server benchmarking tool] / Electronic data and programs. — The Apache Software Foundation, 2011. — Mode of access: World Wide Web. — URL: <http://httpd.apache.org/docs/2.0/programs/ab.html>.
6. Gavrilis D. Real-time detection of distributed denial-of-service attacks using RBF networks and statistical features / Gavrilis D., Dermatas E. // Computer Networks. — 2005. — 48. — P. 235–245.
7. McClure S. Hacking exposed, network security secrets & solutions / McClure S., Scambray J., Kurtz G. — 6th Edition. — McGraw-Hill Osborne Media, 2009. – 720 p.
8. Okhrimenko A. Classification denial of service attacks and modern countermeasure techniques / A. Okhrimenko // Тез. доп. першої міжнар. наук.-пр. конф. мол. вчених «Інфокомуникації – сучасність та майбутнє». – Ч.2. – О.: ОНАЗ, 2011. – С. 87-90.
9. Patrikakis C. Distributed denial of service attacks / Patrikakis C., Masikos M., Zouraraki O. // The Internet Protocol Journal. — 2004. — Vol. 7. — № 4. – P. 13-35.
10. Технический отчет: Угрозы DDoS – риски, устранение и лучшие практические приемы [Электронный ресурс]: World Wide Web. — URL: http://www.cisco.com/web/RU/netsol/ns480/networking_solutions_white_paper0900aecd8032499e.html.
11. [Performance Benchmarks a Webserver : Howto] / [Vivek Gite]. — Electronic data and programs. — [Scottsdale]. [2008]. — Mode of access: World Wide Web. — URL: <http://www.cyberciti.biz/tips/howto-performance-benchmarks-a-web-server.html>.

Надійшла: 12.06.2012

Рецензент: д.т.н., проф. Філоненко С.Ф.

